



# Trabalho 2 de Métodos Numéricos para Equações Diferenciais II

**Ariel Nogueira Kovaljski**

Nova Friburgo, 1 de dezembro de 2020

# Sumário

<b>1</b>	<b>Resumo</b>	<b>3</b>
<b>2</b>	<b>Introdução</b>	<b>4</b>
2.1	A Equação de Advecção	4
2.2	Método dos Volumes Finitos	4
<b>3</b>	<b>Metodologia</b>	<b>6</b>
3.1	Condições Inicial e de Contorno	6
3.2	Métodos Numéricos	6
3.2.1	Métodos <i>Upwind</i>	7
3.2.2	Métodos TVD	7
3.3	Estabilidade	8
3.4	Programação	8
<b>4</b>	<b>Resultados</b>	<b>11</b>
4.1	Resultados para variações de $nx$	11
4.2	Resultados para variações de $t_{\text{final}}$	13
<b>5</b>	<b>Discussão</b>	<b>15</b>
<b>6</b>	<b>Conclusão</b>	<b>16</b>
<b>7</b>	<b>Referências Bibliográficas</b>	<b>17</b>
<b>8</b>	<b>Código Computacional</b>	<b>18</b>
8.0.1	Código Principal ( <code>main.h</code> & <code>main.c</code> )	18
8.0.2	Código do Gráfico ( <code>plot_graph.py</code> )	23

# Lista de Figuras

4.1	FTBS, Superbee, Van Albada: $nx = 200$ . . . . .	11
4.2	FTBS, Superbee, Van Albada: $nx = 400$ . . . . .	12
4.3	FTBS, Superbee, Van Albada: $nx = 800$ . . . . .	12
4.4	FTBS, Superbee, Van Albada: $nx = 1600$ . . . . .	12
4.5	FTBS, Superbee, Van Albada: $t_{\text{final}} = 1\text{s}$ . . . . .	13
4.6	FTBS, Superbee, Van Albada: $t_{\text{final}} = 2\text{s}$ . . . . .	13
4.7	FTBS, Superbee, Van Albada: $t_{\text{final}} = 4\text{s}$ . . . . .	14
4.8	FTBS, Superbee, Van Albada: $t_{\text{final}} = 8\text{s}$ . . . . .	14

# 1. Resumo

A obtenção de solução de equações diferenciais parciais (EDPs) é muitas vezes extremamente difícil ou até mesmo impossível, pois a mesma pode não possuir solução analítica. Através do Método dos Volumes Finitos, é possível discretizá-la, o que permite a obtenção de uma solução numérica aproximada ao se utilizar métodos numéricos computacionais.

Neste trabalho, foram utilizados três métodos numéricos — Forward Time-Backward Space (FTBS), Superbee e Van Albada — visando resolver a EDP da advecção. A partir da solução obtida por cada método, foram variados parâmetros como o número de células e o tempo de simulação, o que permitiu observar o comportamento de cada e compará-los, revelando suas vantagens e desvantagens para cada situação.

## 2. Introdução

Neste trabalho foi implementado um método computacional de maneira a resolver a equação de advecção de forma numérica.

Para melhor entender o desenvolvimento, é necessária introdução dos conceitos-chave utilizados, alguns dos quais já foram apresentados no primeiro trabalho.

### 2.1 A Equação de Advecção

A equação de advecção é obtida a partir da equação de advecção-difusão, introduzida no primeiro trabalho como exemplo de modelagem do escoamento de um contaminante em um córrego. A parte advectiva desta trata apenas do carregamento da substância devido a velocidade da correnteza. A forma mais geral da equação de advecção é

$$\frac{\partial c}{\partial t} + \frac{\partial}{\partial x}(uc) = 0 \quad (2.1)$$

onde  $c$  indica a concentração e  $u$  a velocidade. Para este trabalho assume-se um  $u$  constante e maior que zero, denotado como  $\bar{u}$ . Sendo assim, a forma final equação da advecção a ser utilizada neste trabalho é

$$\frac{\partial c}{\partial t} + \bar{u} \frac{\partial c}{\partial x} = 0 \quad (2.2)$$

### 2.2 Método dos Volumes Finitos

O método dos volumes finitos tem como finalidade a discretização do domínio espacial. Este é subdividido em um conjunto de volumes finitos e as variáveis dependentes são determinadas como médias volumétricas sobre estes volumes, avaliadas nos centros dos mesmos. Partindo de um problema unidimensional, temos um caso particular da lei de conservação discretizada,

$$Q_i^{n+1} = Q_i^n - \frac{\Delta t}{\Delta x} (F_{i+1/2}^n - F_{i-1/2}^n) \quad (2.3)$$

onde  $F$  indica o fluxo, definido como,

$$F_{i\pm 1/2}^n \approx \frac{1}{\Delta t} \int_{t_n}^{t_{n+1}} f(x_{i\pm 1/2}, t) dt$$

e  $Q$  indica as concentrações na malha, definido como

$$Q_i^n \approx \frac{1}{\Delta x} \int_{x_{i-1/2}}^{x_{i+1/2}} \phi(x, t_n) dx$$

Considerando que, para problemas hiperbólicos, a velocidade de propagação é finita, é possível definir uma representação para os fluxos nas faces do volume de controle em função de  $Q^n$ , isto é,

$$F_{i-1/2}^n = \mathcal{F}(Q_{i-1}^n, Q_i^n)$$

$$F_{i+1/2}^n = \mathcal{F}(Q_i^n, Q_{i+1}^n)$$

Reescrevendo a Eq. 2.3 em função de  $\mathcal{F}$  obtém-se,

$$Q_i^{n+1} = Q_i^n - \frac{\Delta t}{\Delta x} \left[ \mathcal{F}(Q_i^n, Q_{i+1}^n) - \mathcal{F}(Q_{i-1}^n, Q_i^n) \right] \quad (2.4)$$

de forma que o valor futuro  $Q_i^{n+1}$  depende explicitamente dos valores anteriores  $Q^n$  na vizinhança do volume  $i$  e das funções  $\mathcal{F}$ .

Neste trabalho, serão utilizados três métodos numéricos baseados no método dos volumes finitos — Forward Time-Backward Space (FTBS), Superbee, Van Albada — visando resolver a equação da advecção.

## 3. Metodologia

Neste capítulo serão abordados os passos e métodos utilizados para se obter a solução numérica do problema proposto.

### 3.1 Condições Inicial e de Contorno

A resolução de qualquer equação diferencial parcial (EDP) requer a determinação de sua condição(ões) inicial(ais) e de contorno. Como proposto pelo trabalho, a concentração inicial da malha é dada pela seguinte equação

$$c(x, 0) = e^{-A(x-B)} + s(x) \quad (3.1)$$

e as condições de contorno são dadas pelas seguintes equações

$$\left(\frac{\partial c}{\partial x}\right)_{x=0}^t = 0 \quad (3.2) \quad \left(\frac{\partial c}{\partial x}\right)_{x=L_x}^t = 0 \quad (3.3)$$

para o contorno esquerdo e direito, respectivamente.

Usando o conceitos de volumes fantasmas, é possível determinar o valor dos volumes no contorno, através das seguintes aproximações, para o contorno esquerdo,

$$\begin{aligned} \left(\frac{\partial c}{\partial x}\right)_{x=0}^t &\approx \frac{Q_1^n - Q_0^n}{\Delta x} = 0 \\ \therefore Q_1^n &= Q_0^n \end{aligned} \quad (3.4)$$

e para o contorno direito,

$$\begin{aligned} \left(\frac{\partial c}{\partial x}\right)_{x=L_x}^t &\approx \frac{Q_{nx+1}^n - Q_{nx}^n}{\Delta x} = 0 \\ \therefore Q_{nx+1}^n &= Q_{nx}^n \end{aligned} \quad (3.5)$$

### 3.2 Métodos Numéricos

Os métodos numéricos utilizados para a resolução da equação de advecção são diversos. Nesta seção serão tratados os três métodos utilizados neste trabalho.

Como base para todos os métodos, será utilizada a equação 2.4, modificada ligeiramente, conforme descrito na proposta do trabalho. Esta versão modificada pode ser vista abaixo,

$$Q_i^{n+1} = Q_i^n - C (Q_i^n - Q_{i-1}^n) - \frac{1}{2} C (1 - C) \left[ \psi \left( \theta_{i+1/2}^n \right) \left( Q_{i+1/2}^n - Q_i^n \right) - \psi \left( \theta_{i-1/2}^n \right) \left( Q_i^n - Q_{i-1}^n \right) \right] \quad (3.6)$$

onde  $C$  é o número de Courant,  $\theta_{i\pm 1/2}^n$  são funções adicionais, definidas como,

$$\theta_{i-1/2}^n = \frac{Q_{i-1}^n - Q_{i-2}^n}{Q_i^n - Q_{i-1}^n} \quad \text{e} \quad \theta_{i+1/2}^n = \frac{Q_i^n - Q_{i-1}^n}{Q_{i+1}^n - Q_i^n}$$

e  $\psi$  é um dos métodos numéricos a serem adotados.

### 3.2.1 Métodos *Upwind*

Problemas hiperbólicos, como a equação da advecção, possuem informação (ondas) que se propagam com uma velocidade e sentido característico. A utilização de métodos *upwind* leva em conta essa característica, permitindo uma modelagem mais acurada do fenômeno tratado. O método *upwind* escolhido para a resolução da equação da advecção é o *forward time-backward space* (FTBS).

#### Forward Time-Backward Space (FTBS)

O FTBS trata da ideia de que, para a equação da advecção unidimensional, há apenas uma única onda que se propaga. O método *upwind* determina o valor de  $Q_i^{n+1}$ , onde, para um  $\bar{u} > 0$ , resulta em um fluxo da esquerda para a direita, de forma que a concentração de cada volume  $Q_i^{n+1}$  depende dos volumes atual  $Q_i^n$  e anterior  $Q_{i-1}^n$ . Sua forma como função  $\psi$  é:

$$\psi(\theta) = 0 \quad (3.7)$$

### 3.2.2 Métodos TVD

A utilização de métodos *upwind* de primeira ordem, apesar de simples, acaba por introduzir significativa difusão numérica, impactando negativamente a acurácia da solução. Os métodos TVD introduzem um termo corretivo, de maneira a minimizar a influência da difusão numérica sobre o resultado final. Os métodos TVD escolhidos para a resolução da equação da advecção são o Superbee e Van Albada.

#### Superbee

Para o Superbee, sua forma como função  $\psi$  é:

$$\psi(\theta) = \max(0, \min(1, 2\theta), \min(2, \theta)) \quad (3.8)$$

#### Van Albada

Para Van Albada, sua forma como função  $\psi$  é:

$$\psi(\theta) = \frac{\theta^2 + \theta}{\theta^2 + 1} \quad (3.9)$$



### 3.3 Estabilidade

Se trata do comportamento do algoritmo e seus valores numéricos frente aos parâmetros de entrada. Um algoritmo estável se comporta de maneira esperada frente a uma faixa específica de valores de entrada.

A partir da condição de estabilidade para a equação da advecção-difusão, utilizada no primeiro trabalho,

$$\Delta t \leq C \left( \frac{1}{\frac{2\alpha}{\Delta x^2} + \frac{\bar{u}}{\Delta x}} \right) \quad (3.10)$$

considerando que não há componente difusivo  $\alpha$  na equação de advecção, o mesmo pode ser igualado a 0.

$$\begin{aligned} \Delta t &\leq C \left( \frac{1}{\frac{2(0)}{\Delta x^2} + \frac{\bar{u}}{\Delta x}} \right) \\ \Delta t &\leq C \left( \frac{1}{\frac{\bar{u}}{\Delta x}} \right) \\ \therefore \Delta t &\leq C \frac{\Delta x}{\bar{u}} \end{aligned} \quad (3.11)$$

obtém-se assim a condição de estabilidade para os métodos numéricos para a equação da advecção, onde  $C$  trata-se do número de Courant: adota-se um valor de 0,8 para este trabalho, visando satisfazer a condição de estabilidade e evitar possíveis erros numéricos durante o cálculo computacional. O método obtido trata-se de um método *condicionalmente estável*, ou seja que depende de uma faixa de valores para garantir a estabilidade de seu funcionamento.

### 3.4 Programação

Aliado destes conceitos, foi possível construir um programa em linguagem C que calcula as concentrações para cada célula ao longo do tempo, para cada método aqui citado, exportando arquivos de texto com os resultados; estes arquivos, então, são lidos por um *script* Python que gera os gráficos correspondentes.

O programa principal possui a seguinte estrutura, descrita em C:

```
// Vetores para concentração no tempo 'n' e no tempo 'n+1', respectivamente
double Q_old[];
double Q_new[];

// Para cada método, os vetores são inicializados e as concentrações são
// calculadas

// Método FTBS
// Inicializa ambos os vetores com a função de concentração inicial
initializeArray(Q_old, NX, A, B, C, D, E)
initializeArray(Q_new, NX, A, B, C, D, E)

// Calcula Q através do método FTBS (upwind)
calculateQ(Q_old, Q_new, upwind);
```

```
// Imprime na tela e salva os resultados no arquivo de texto
printAndSaveResults(Q_new, NX, UPWIND);
```

```
// Método Superbee
initializeArray(Q_old, NX, A, B, C, D, E)
initializeArray(Q_new, NX, A, B, C, D, E)
calculateQ(Q_old, Q_new, superbee);
printAndSaveResults(Q_new, NX, SUPERBEE);
```

```
// Método Van Albada
initializeArray(Q_old, NX, A, B, C, D, E)
initializeArray(Q_new, NX, A, B, C, D, E)
calculateQ(Q_old, Q_new, vanAlbada);
printAndSaveResults(Q_new, NX, VAN_ALBADA);
```

A função `initializeArray` possui a seguinte estrutura:

```
int i;
double x, s;

// Laço 'for' percorre todos os índices do vetor
for (i = 0; i < nx; ++i) {

    // Posição 'x' (m) é definida como índice do volume * largura do volume
    x = i * Delta_x;

    // 's' recebe o valor de 'E' somente se C <= x <= D
    s = (x >= C && x <= D ? E : 0);

    // Cada índice do vetor 'Q' é inicializado segundo a condição inicial
    Q[i] = exp( -A * ((x - B)*(x - B)) ) + s;
}
```

Cada função `calculateQ` possui a seguinte estrutura:

```
// Cálculo de Q, iterado ao longo do tempo
int i;
double t = 0;

do {
    // Cálculo do volume da fronteira esquerda
    i = 0;
    new[i] = old[i] - COURANT/2 * (1-COURANT) * (
        psi(thetaPlusHalf(old, i)) * (old[i+1] - old[i])
    );

    // Cálculo dos volumes do centro da malha
    for (i = 1; i < NX - 1; ++i) {
        new[i] = old[i] - COURANT * (
            old[i] - old[i-1]
        ) - COURANT/2 * (1-COURANT) * (
            psi(thetaPlusHalf(old, i)) * (old[i+1] - old[i])
            - psi(thetaMinusHalf(old, i)) * (old[i] - old[i-1])
        );
    }

    // Cálculo do volume da fronteira direita
    new[i] = old[i] - COURANT * (
        old[i] - old[i-1]
    ) - COURANT/2 * (1-COURANT) * (
        - psi(thetaMinusHalf(old, i)) * (old[i] - old[i-1])
    );
}
```

```

// Atualiza array de valores antigos com os novos para o próximo
// passo de tempo
for (i = 0; i < NX; ++i) {
    old[i] = new[i];
}

// Incrementa passo de tempo
} while ( (t += DELTA_T) <= T_FINAL);

```

Cada função `thetaMinusHalf` / `thetaPlusHalf` possui a seguinte estrutura:

```

int a, b, c;

// Aplica condição de contorno / volume fantasma
if (method == "thetaMinusHalf") {
    a = (i - 2) < 0 ? 0 : (i - 2);
    b = (i - 1) < 0 ? 0 : (i - 1);
    c = i;
} else if (method == "thetaPlusHalf") {
    a = (i - 1) < 0 ? 0 : (i - 1);
    b = i;
    c = i + 1;
}

// Workaround para divisão por zero
if (arr[c] - arr[b] == 0) {
    return (arr[b] - arr[a]) / 1e-10;
    /* return 0; */
}

return (arr[b] - arr[a]) / (arr[c] - arr[b]);

```

São definidos dois vetores, `Q_old[]` e `Q_new[]`, que correspondem as concentrações  $Q$  no tempo  $n$  e  $n + 1$ , respectivamente. Antes do cálculo das concentrações, os vetores são inicializados, em um simples laço `for`, seguindo a função de concentração inicial  $e^{-A(x-b)^2} + s(x)$ .

Ao ser chamada, a função `calculateQ` recebe um ponteiro para a função `psi` correspondente. Isto permite o reuso de código, pois os passos do cálculo de  $Q$  são idênticos para todas as funções.

A cada iteração do laço `do-while`, o tempo `t` é incrementado por uma quantidade `DELTA_T`, que obedece as regras de estabilidade descritas na seção anterior. Ao longo da iteração, o vetor `Q_new[]` é calculado para as fronteiras e para o centro da malha, em função de `Q_old[]`. Para o cálculo de cada função `psi`, antes é calculado o valor de  $\theta_{i\pm 1/2}^n$  por suas respectivas funções `thetaMinusHalf` e `thetaPlusHalf`.

O cálculo de  $\theta_{i\pm 1/2}^n$  aplica as condições de contorno, evitando assim o acesso de índices fora do domínio do vetor. Para alguns casos onde o denominador resultaria em zero, é aplicado um *workaround*, isto é, uma medida mitigadora, onde o denominador é definido como um número pequeno  $\sim 10^{-10}$ .

Antes do fim da iteração, os vetores `Q_old[]` são atualizados com os valores de `Q_new[]`, o tempo é incrementado, e então a nova iteração é iniciada.

Ao fim da execução, o vetor `Q_new[]`, terá os resultados da concentração de cada volume da malha, correspondente a cada índice do vetor, no tempo `t = t_final`. Os pares índice-concentração são exportados em um arquivo de texto, para cada método, linha-a-linha, para serem lidos e plotados pelo *script* Python.

## 4. Resultados

Neste capítulo serão descritos os resultados obtidos através da simulação da EDP com a variação de diversos parâmetros. Os parâmetros iniciais escolhidos para este trabalho foram:

- $L_x = 20\text{m}$  (comprimento do domínio)
- $nx = 400$  (número de células)
- $\bar{u} = 1\text{m/s}$  (velocidade de escoamento)
- $t_{\text{final}} = 2\text{s}$  (tempo final de simulação)
- $\Delta x = \frac{L_x}{nx} = 0,05\text{m}$  (passo no espaço)
- $\Delta t = 0,8 \left( \frac{\Delta x}{\bar{u}} \right) = 0,04\text{s}$  (passo de tempo)
- $A = 100$
- $B = 1,5$
- $C = 4,0$
- $D = 6,0$
- $E = 2,0$

### 4.1 Resultados para variações de $nx$

Com a variação de  $nx$ , obtiveram-se os seguintes resultados:

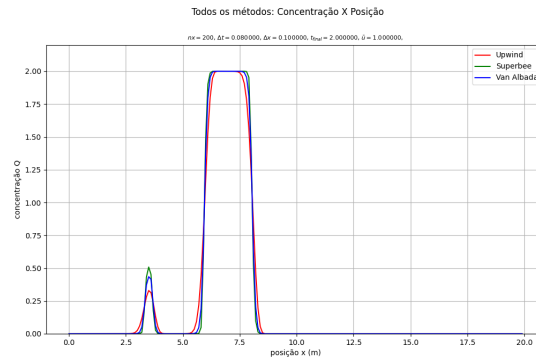


Figura 4.1: FTBS, Superbee, Van Albada:  $nx = 200$

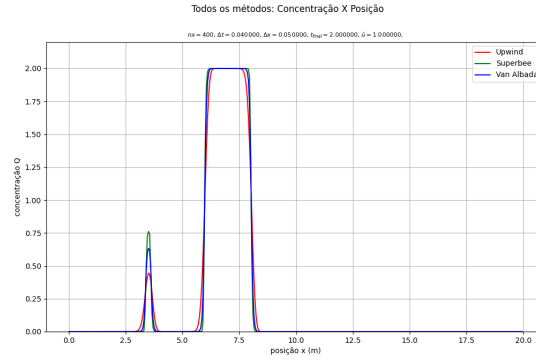


Figura 4.2: FTBS, Superbee, Van Albada:  $nx = 400$

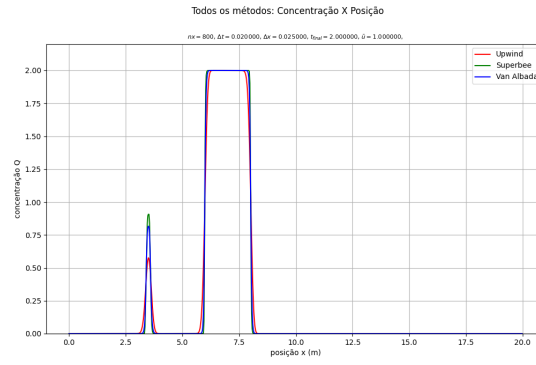


Figura 4.3: FTBS, Superbee, Van Albada:  $nx = 800$

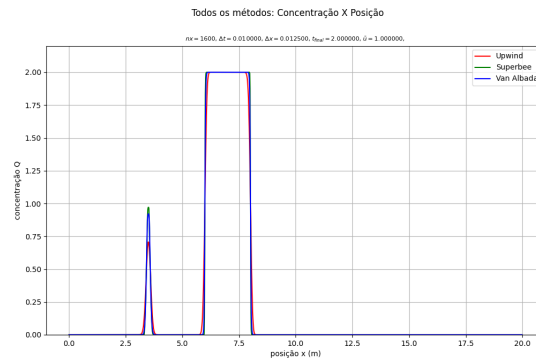


Figura 4.4: FTBS, Superbee, Van Albada:  $nx = 1600$

Nota-se que o refinamento da malha resulta em dois fenômenos: a primeira onda se torna mais “pontaguda” e a segunda mais “quadrada”; tais características não podiam ser representadas em uma malha de baixa resolução. Sendo

assim, determina-se que o aumento no número de nós torna a solução discreta mais próxima da analítica (solução real).

## 4.2 Resultados para variações de $t_{\text{final}}$

Com a variação de  $t_{\text{final}}$ , obtiveram-se os seguintes resultados:

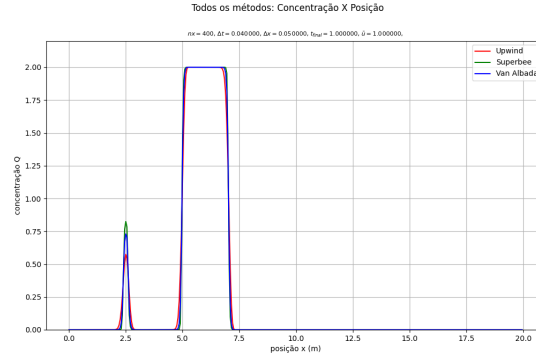


Figura 4.5: FTBS, Superbee, Van Albada:  $t_{\text{final}} = 1\text{s}$

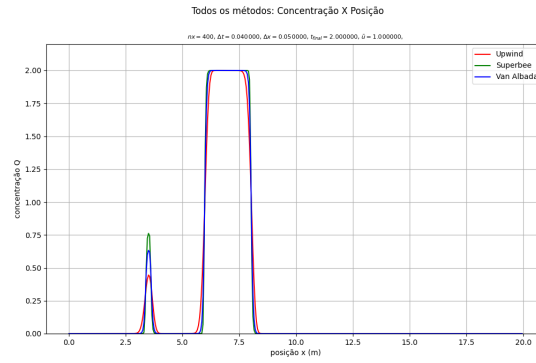


Figura 4.6: FTBS, Superbee, Van Albada:  $t_{\text{final}} = 2\text{s}$

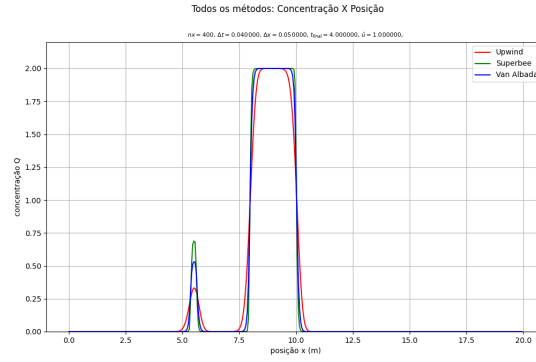


Figura 4.7: FTBS, Superbee, Van Albada:  $t_{\text{final}} = 4\text{s}$

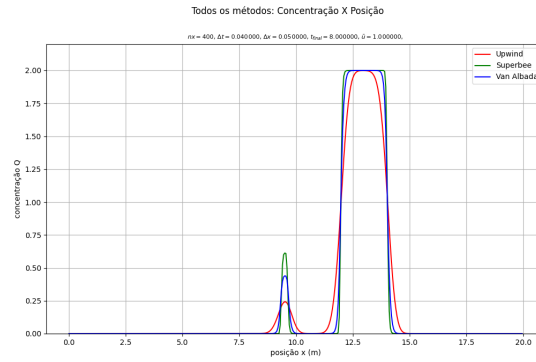


Figura 4.8: FTBS, Superbee, Van Albada:  $t_{\text{final}} = 8\text{s}$

Nota-se que com o avanço no tempo, dentre todos os métodos, o Superbee é o que menos apresentou difusão numérica, mantendo-se assim mais próximo da solução analítica (real). Comparado com os métodos de alta resolução, os métodos TVD apresentam as oscilações espúrias, o que os torna mais eficazes para este tipo de problema.

## 5. Discussão

Observa-se que a aplicação de diferentes métodos numéricos para um mesmo problema — neste caso, a EDP da advecção — resulta em soluções bastante diferentes. Métodos de primeira ordem como FTBS, possuem erro de truncamento na ordem de  $\frac{\partial^2 c}{\partial x^2}$  o que introduz um grau mais elevado de difusão numérica. Métodos TVD, possuem as vantagens dos Métodos de Alta Resolução — baixa difusão numérica, devido ao erro de truncamento na ordem de  $\frac{\partial^3 c}{\partial x^3}$  — sem os seus defeitos — oscilações espúrias.

Em relação aos refinamentos da malha, nota-se que todos os métodos se comportam de maneira similar. Uma diminuição no número de nós  $nx$ , prejudica a acurácia da solução, pois a baixa resolução esconde as variações abruptas nas curvas. O aumento de  $nx$  apresenta um resultado mais fiel ao real, porém demanda mais poder computacional para o cálculo da malha.

Em relação às mudanças em  $t_{\text{final}}$ , observa-se que conforme o avanço do tempo, o efeito advectivo faz com que as concentrações se desloquem para a direita, o que está de acordo com a velocidade  $\bar{u} > 0$ . Erros causados pela difusão numérica mostram que métodos de primeira ordem como o FTBS não são os mais adequados para esta análise. Dentre os métodos TVD, o que apresentou melhor resultado foi o Superbee, pois manteve-se mais próximo da curva analítica comparado com o Van Albada, mesmo para valores de  $t_{\text{final}}$  elevados.



## 6. Conclusão

Equações diferenciais são uma ferramenta poderosa para a modelagem de problemas físicos. A EDP da advecção, muito utilizada na modelagem do escoamento de fluidos, pode ser difícil ou até impossível de resolver analiticamente.

Desta forma, se faz necessário o uso de métodos numéricos, os quais permitem a obtenção de uma solução aproximada para o problema. Diferentes métodos possuem diferentes comportamentos, com vantagens e desvantagens para cada situação. Neste trabalho, foi estudado o comportamento de quatro métodos, na busca da solução da equação da advecção.

Seguindo as condições de estabilidade, foi possível perceber que métodos como o FTBS são de simples implementação, mas, devido a elevada difusão numérica, divergem do resultado analítico. Métodos TVD como Superbee e Van Albada possuem melhor acurácia, tendo pequena difusão numérica ao longo do tempo.

A escolha dentre diferentes métodos é necessária dependendo dos parâmetros do problema físico e do projeto de engenharia a ser estudado. É necessário estabelecer um *tradeoff* entre tempo de projeto vs. acurácia da solução, de maneira a manter os custos sob controle.

## 7. Referências Bibliográficas

1. **Pedro Amaral Souto**, Helio & **de Souza Boy**, Grazione, *Apostila de “Métodos Numéricos para Equações Diferenciais II”*, 2020
2. **Pedro Amaral Souto**, Helio & **de Souza Boy**, Grazione, *Notas de aula de “Métodos Numéricos para Equações Diferenciais II”*, 2020

## 8. Código Computacional

### 8.0.1 Código Principal (main.h & main.c)

Arquivo main.h

```
/*
*****
*      Métodos Numéricos para Equações Diferenciais II -- Trabalho 3      *
*      Ariel Nogueira Kovaljski                                           *
*****
*/

/*===== Parâmetros a serem ajustados =====*/

#define LX      (20.0)              /* comprimento do domínio (em m)      */
#define NX      (400)              /* número de células                  */
#define DELTA_X (LX/NX)            /* largura de cada célula (em m)      */
#define U_BAR   (1.0)              /* velocidade de escoamento (em m/s) */
#define T_FINAL (2.0)              /* tempo final da simulação (em segundos) */
#define COURANT (0.8)              /* número de courant                  */

#define DELTA_T (COURANT*DELTA_X/U_BAR) /* passo de tempo (em segundos)      */

#define A (100.0)                  /*
#define B (1.5)                    /*
#define C (4.0)                    /* Parâmetros da condição inicial */
#define D (6.0)                    /*
#define E (2.0)                    /*

/*=====*/

#define MIN(a,b) (((a) < (b)) ? (a) : (b))
#define MAX(a,b) (((a) > (b)) ? (a) : (b))
#define MAX3(a,b,c) (MAX(MAX((a),(b)), (c)))

/* Métodos utilizados para o cálculo de Q neste trabalho */
enum methods {UPWIND, SUPERBEE, VAN_ALBADA};

void listParameters();
void initializeArray(double arr[], int len, double a, double b, double c,
                    double d, double e);
double thetaPlusHalf(double arr[], int i);
double thetaMinusHalf(double arr[], int i);
void calculateQ(double old[], double new[], double (*psi)(double theta));
double upwind(double theta);
double superbbee(double theta);
double vanAlbada(double theta);
void printAndSaveResults(double arr[], int len, int method);
```

## Arquivo main.c

```

/*****
 *      Métodos Numéricos para Equações Diferenciais II -- Trabalho 3      *
 *      Ariel Nogueira Kovaljski                                           *
 *****/

#include "main.h"

#include <stdio.h>
#include <stdlib.h>
#include <math.h>
#include <string.h>

int main(void)
{
    double Q_new[NX];    /* Array de Q no tempo n+1 */
    double Q_old[NX];    /* Array de Q no tempo n */

    puts("MNED II - Trabalho 3\n"
         "=====\n"
         "por Ariel Nogueira Kovaljski\n");

    listParameters();

    /* Cálculo de Q via método Upwind */
    puts("Calculando Q via metodo Upwind...");
    initializeArray(Q_old, NX, A, B, C, D, E);
    initializeArray(Q_new, NX, A, B, C, D, E);
    calculateQ(Q_old, Q_new, upwind);
    printAndSaveResults(Q_new, NX, UPWIND);

    /* Cálculo de Q via método Superbee */
    puts("Calculando Q via metodo Superbee...");
    initializeArray(Q_old, NX, A, B, C, D, E);
    initializeArray(Q_new, NX, A, B, C, D, E);
    calculateQ(Q_old, Q_new, superbee);
    printAndSaveResults(Q_new, NX, SUPERBEE);

    /* Cálculo de Q via método Van Albada */
    puts("Calculando Q via metodo Van Albada...");
    initializeArray(Q_old, NX, A, B, C, D, E);
    initializeArray(Q_new, NX, A, B, C, D, E);
    calculateQ(Q_old, Q_new, vanAlbada);
    printAndSaveResults(Q_new, NX, VAN_ALBADA);

    return 0;
}

void listParameters()
{
    puts("Parametros\n-----");
    puts("Constantes da equacao:");
    printf("DELTA_T = %f, DELTA_X = %f, U_BAR = %3.2e\n\n",
           DELTA_T, DELTA_T, U_BAR);
    puts("Constantes da simulacao:");
    printf("LX = %f, NX = %d, T_FINAL = %f\n\n", LX, NX, T_FINAL);
}

/* Inicializa um array para um valor de entrada */
void initializeArray(double arr[], int len, double a, double b, double c,
                    double d, double e)
{

```

```

/*****
*
*          Condição de contorno
*           $c(x,0) = \exp(-A(x-B)^2) + s(x)$ 
*
*          onde  $s(x) = \begin{cases} E, & \text{se } C \leq x \leq D \\ 0, & \text{c.c.} \end{cases}$ 
*/

int i;
double x, s;

for (i = 0; i < len; ++i) {
    x = i * DELTA_X;
    s = (x >= c && x <= d ? e : 0);
    arr[i] = exp( -a * ((x - b)*(x - b)) ) + s;
}

double thetaPlusHalf(double arr[], int i)
{
    int a, b, c;

    /* Aplica condição de contorno / volume fantasma */
    a = (i - 1) < 0 ? 0 : (i - 1);
    b = i;
    c = i + 1;

    /* Workaround para divisão por zero */
    if (arr[c] - arr[b] == 0) {
        return (arr[b] - arr[a]) / 1e-10;
    }

    return (arr[b] - arr[a]) / (arr[c] - arr[b]);
}

double thetaMinusHalf(double arr[], int i)
{
    int a, b, c;

    /* Aplica condição de contorno / volume fantasma */
    a = (i - 2) < 0 ? 0 : (i - 2);
    b = (i - 1) < 0 ? 0 : (i - 1);
    c = i;

    /* Workaround para divisão por zero */
    if (arr[c] - arr[b] == 0) {
        return (arr[b] - arr[a]) / 1e-10;
    }

    return (arr[b] - arr[a]) / (arr[c] - arr[b]);
}

/* calcula Q, recebendo como ponteiro a função 'psi' */
void calculateQ( double old[], double new[], double (*psi)(double
theta) )
{
    int i;
    double t = 0;

    do {
        /*

```

```

*                               Fronteira esquerda
*                               |=@|=@|=@|=@|=@|=@|=@|=
*                               ^
*/
i = 0;
new[i] = old[i] - COURANT/2 * (1-COURANT) * (
    psi(thetaPlusHalf(old, i)) * (old[i+1] - old[i])
);

/*
*                               Centro
*                               |=@|=@|=@|=@|=@|=@|=@|=
*                               ^   ^   ^   ^   ^
*/
for (i = 1; i < NX - 1; ++i) {
    new[i] = old[i] - COURANT * (
        old[i] - old[i-1]
    ) - COURANT/2 * (1-COURANT) * (
        psi(thetaPlusHalf(old, i)) * (old[i+1] - old[i] )
        - psi(thetaMinusHalf(old, i)) * (old[i] - old[i-1])
    );
}

/*
*                               Fronteira direita
*                               |=@|=@|=@|=@|=@|=@|=@|=
*                               ^
*/
new[i] = old[i] - COURANT * (
    old[i] - old[i-1]
) - COURANT/2 * (1-COURANT) * (
    - psi(thetaMinusHalf(old, i)) * (old[i] - old[i-1])
);

/* Atualiza array de valores antigos com os novos para o próximo
passo de tempo */
for (i = 0; i < NX; ++i) {
    old[i] = new[i];
}

} while ( (t += DELTA_T) <= T_FINAL);
}

/* Método Upwind */
double upwind(double theta)
{
    return (theta = 0);
}

/* Método Superbee */
double superbee(double theta)
{
    return MAX3(0, MIN(1, 2*theta), MIN(2, theta));
}

/* Método Van Albada */
double vanAlbada(double theta)
{
    return ( (theta*theta) + theta ) / ( (theta*theta) + 1 );
}

/* Imprime na tela e salva os resultados num arquivo de saída */

```

```

void printAndSaveResults(double arr[], int len, int method)
{
    int i;
    char filename[50], file0[100], file1[100];
    FILE *results_file;    /* Ponteiro para o arquivo de resultados */

    /* Prepara nome do arquivo de saída */
    switch (method) {
        case UPWIND:
            sprintf(filename, "%s%d%s", "results", method, ".txt");
            break;
        case SUPERBEE:
            sprintf(filename, "%s%d%s", "results", method, ".txt");
            break;
        case VAN_ALBADA:
            sprintf(filename, "%s%d%s", "results", method, ".txt");
            break;
    }

    /* Imprime os resultados no console */
    printf("Q[%d] (tempo final: %.2fs) = [", NX, T_FINAL);
    for (i = 0; i < len - 1; ++i) {
        printf("%f, ", arr[i]);
    }
    printf("%f]\n\n", arr[i]);

    /* Error Handling -- Verifica se é possível criar/escrever o
       arquivo de resultados */
    sprintf(file0, "%s%s", "./results/", filename);
    sprintf(file1, "%s%s", "../results/", filename);
    if ( ( results_file = fopen(file0, "w") ) == NULL
        && ( results_file = fopen(file1, "w") ) == NULL ) {
        fprintf(stderr,
            "[ERR] Houve um erro ao escrever o arquivo \"%s\"! "
            "Os resultados nao foram salvos.\n", filename);
        exit(1);
    }

    /* Adiciona os resultados no arquivo "results.txt" */
    fprintf(results_file,
        "nx=%d\n"
        "Delta_t=%f\n"
        "Delta_x=%f\n"
        "t_final=%f\n"
        "u_bar=%f\n",
        NX, DELTA_T, DELTA_X, T_FINAL, U_BAR);
    fputs("*****\n", results_file);

    for (i = 0; i < len; ++i) {
        fprintf(results_file, "%f,%f\n", i * DELTA_X, arr[i]);
    }

    fclose(results_file);    /* Fecha o arquivo */

    printf("[INFO] Os resultados foram salvos no arquivo \"%s\" "
        "no diretorio \"results/\".\n\n", filename);
}

```

## 8.0.2 Código do Gráfico (plot\_graph.py)

```
#####
#           Métodos Numéricos para Equações Diferenciais II -- Trabalho 3           #
#                               Ariel Nogueira Kovaljski                               #
#####

import matplotlib.pyplot as plt

x0, y0 = [], []
x1, y1 = [], []
x2, y2 = [], []
parameters = {}

def main():
    # Abre arquivos para leitura
    # Arquivo Upwind
    try:
        f0 = open('./results/results0.txt', 'r')
    except OSError as err:
        print("Erro ao abrir o arquivo 'results0.txt':", err)

    # Arquivo Superbee
    try:
        f1 = open('./results/results1.txt', 'r')
    except OSError as err:
        print("Erro ao abrir o arquivo 'results1.txt':", err)

    # Arquivo Van Albada
    try:
        f2 = open('./results/results2.txt', 'r')
    except OSError as err:
        print("Erro ao abrir o arquivo 'results2.txt':", err)

    # Extrai informações dos arquivos
    data_extract(f0, x0, y0)
    data_extract(f1, x1, y1)
    data_extract(f2, x2, y2)

    # Plota os gráficos de cada método individualmente
    plot_graph(x0, y0, 0)
    plot_graph(x1, y1, 1)
    plot_graph(x2, y2, 2)

    # Plota todos os gráficos na mesma janela
    plot_all_graphs()

def data_extract(f, x, y):
    for line_number, line in enumerate(f):
        if (line_number + 1) < 6:
            # Adiciona parâmetros da simulação em um dicionário
            parameters[line.split('=')[0]] = (line.split('=')[1]).split('\n')[0]
        elif (line_number + 1) == 6:
            # Pula linha separadora
            pass
        else:
            # Separa valores na lista 'x' e na lista 'y'
            x.append( float(line.split(',')[0]) )
            y.append( float((line.split(',')[1]).split('\n')[0]) )
```



```

def plot_graph(x, y, id):
    methods = {0: 'Upwind', 1: 'Superbee', 2: 'Van Albada'}
    colors = {0: 'red', 1: 'green', 2: 'blue'}
    fig, ax = plt.subplots()
    fig.set_size_inches(12, 7)
    ax.grid(True)
    ax.set(ylim=(0, 2.2))

    plt.suptitle(f"Método {methods[id]}: Concentração X Posição")
    plt.title(rf"$n_x = {parameters['nx']}$, "
              rf"$\Delta t = {parameters['Delta_t']}$, "
              rf"$\Delta x = {parameters['Delta_x']}$, "
              rf"$t_{{final}} = {parameters['t_final']}$, "
              rf"$\bar{u} = {parameters['u_bar']}$, ", fontsize=8)

    plt.xlabel("posição x (m)")
    plt.ylabel("concentração Q")
    plt.plot(x, y, 'ko-', markerfacecolor=colors[id], markeredgecolor='k')
    plt.draw()

def plot_all_graphs():
    methods = {0: 'Upwind', 1: 'Superbee', 2: 'Van Albada'}
    colors = {0: 'red', 1: 'green', 2: 'blue'}
    fig, ax = plt.subplots()
    fig.set_size_inches(12, 7)
    ax.grid(True)
    ax.set(ylim=(0, 2.2))

    plt.suptitle(f"Todos os métodos: Concentração X Posição")
    plt.title(rf"$n_x = {parameters['nx']}$, "
              rf"$\Delta t = {parameters['Delta_t']}$, "
              rf"$\Delta x = {parameters['Delta_x']}$, "
              rf"$t_{{final}} = {parameters['t_final']}$, "
              rf"$\bar{u} = {parameters['u_bar']}$, ", fontsize=8)
    plt.xlabel("posição x (m)")
    plt.ylabel("concentração Q")

    plt.plot(x0, y0, f'{colors[0][0]}-', markerfacecolor=colors[0],
              label=methods[0])
    plt.plot(x1, y1, f'{colors[1][0]}-', markerfacecolor=colors[1],
              label=methods[1])
    plt.plot(x2, y2, f'{colors[2][0]}-', markerfacecolor=colors[2],
              label=methods[2])
    plt.legend(loc='upper right')
    plt.savefig(f"./results/fig/methods_t={parameters['t_final']}.png")
    plt.show()

if __name__ == "__main__":
    main()

```